

## СИНТЕЗ, СТРУКТУРА И СВОЙСТВА ТВЕРДОГО РАСТВОРА



А.А. Ёлохова\*, А.В. Брюзгина, А.С. Урусова, В.А. Черепанов

Уральский федеральный университет, Екатеринбург, Россия

\*e-mail: elokhova.alena@yandex.ru

Объектами данного исследования являются слоистые перовскиты на основе  $\text{YBaFeCuO}_{5\pm\delta}$ , полученные по глицерин-нитратной методике на воздухе при  $1000^\circ\text{C}$ .

Для синтеза были использованы следующие реактивы: оксиды  $\text{Y}_2\text{O}_3$  (ИтО-В),  $\text{Fe}_2\text{O}_3$  (ос.ч.) и  $\text{CuO}$  (ч.д.а.), карбонат бария  $\text{BaCO}_3$  (ос.ч.), металлические кобальт и железо.

Навески исходных компонентов, взятых в соответствующих стехиометрических количествах, растворяли в разбавленной азотной кислоте при нагревании. Далее к раствору добавляли эквимольное количество глицерина и раствор выпаривали. Конечный отжиг образцов был проведен в течении 120 часов при температуре  $1000^\circ\text{C}$ , с последующим охлаждением до комнатной температуры со скоростью  $100^\circ/\text{час}$ , или закалкой на комнатную температуру со скоростью  $500^\circ/\text{мин}$ , в зависимости от поставленных задач.

Для определения фазового состава образцы анализировали методом порошковой дифракции с использованием дифрактометра Shimadzu XRD-7000 в  $\text{Cu}_{K\alpha}$ -излучении ( $\lambda = 1.5418 \text{ \AA}$ ). Съемку проводили в интервале углов  $10 \leq 2\Theta \leq 90$  по  $0.02$  градуса с выдержкой в точке 4 секунды.

Определение области гомогенности определяли с помощью картотеки JCPDS и программного пакета "freak".

Для однофазных образцов были рассчитаны параметры элементарной ячейки в программе "Celref 3" и уточнены методом полнопрофильного анализа Ритвелда в программе "Fullprof 2017".

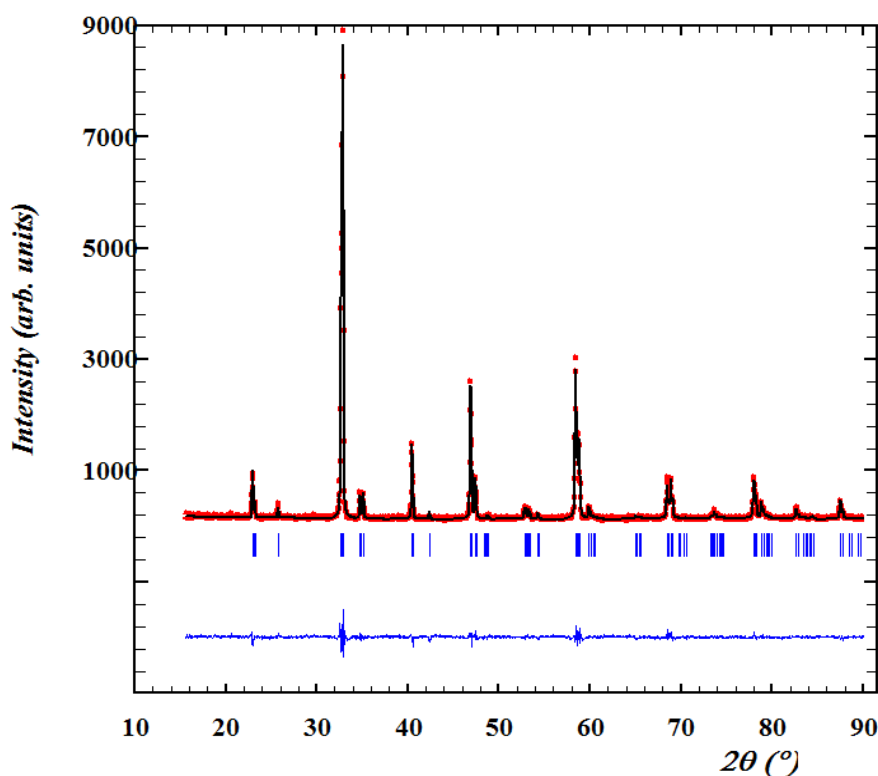
В качестве примера на рисунке 1 представлена рентгенограмма однофазного образца состава  $\text{YBaCuFeO}_{5\pm\delta}$ .

По данным РФА было установлено, что однофазные образцы состава  $\text{YBaCo}_x\text{Fe}_{1-x}\text{CuO}_{5\pm\delta}$  ( $0.0 \leq x < 0.25$ ) хорошо описываются в рамках тетрагональной ячейки типа  $a_p \times a_p \times 2a_p$  (пр. гр.  $P4mm$ ).

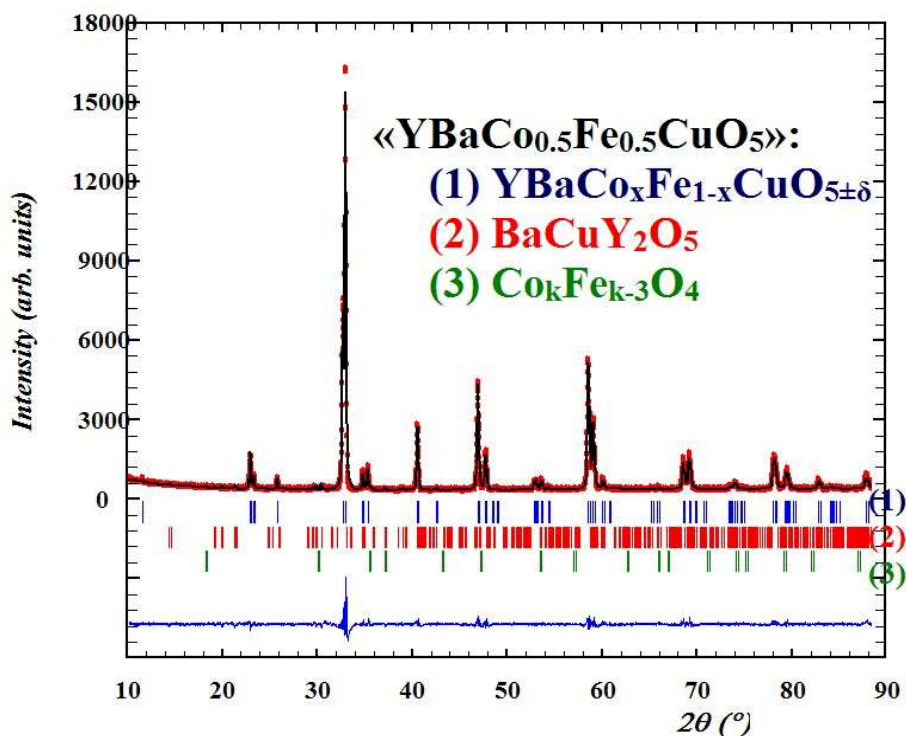
Рентгенографические данные образца номинального состава  $\text{YBaCo}_{0.5}\text{Fe}_{0.5}\text{CuO}_{5\pm\delta}$ , находящегося за пределами области гомогенности, представлены на рисунке 2.

Для всех однофазных составов были рассчитаны параметры элементарных ячеек и факторы надежности, приведенные в Таблице 1.

Из указанных данных видно, что введение кобальта в подрешетку железа для состава  $\text{YBaCo}_x\text{Fe}_{1-x}\text{CuO}_{5\pm\delta}$  приводит к незначительному уменьшению параметров, что связано с размерным эффектом ( $r_{\text{Fe}^{3+}/\text{Fe}^{4+}} = 0.785 / 0.725 \text{ \AA}$ , к.ч. = 6 и  $r_{\text{Co}^{3+}/\text{Co}^{4+}} = 0.61 / 0.53 \text{ \AA}$ , к.ч. = 6)[1].



**Рисунок 1.** Рентгенографические данные для образца  $\text{YBaCuFeO}_{5\pm\delta}$ , обработанные по методу Ритвелда: точки - экспериментальные данные; сплошная линия - теоретический спектр; нижняя сплошная линия - разница между экспериментальными данными и рассчитанным спектром.



**Рисунок 2.** Рентгенографические данные для состава  $\text{YBaCo}_{0.5}\text{Fe}_{0.5}\text{CuO}_{5\pm\delta}$ , обработанные по методу Ритвелда.

**Таблица 1.** Параметры элементарных ячеек и факторы надежности для твёрдого раствора  $\text{YBaCo}_x\text{Fe}_{1-x}\text{CuO}_{5\pm\delta}$  (пр. гр.  $P4mm$ ).

Состав	$a, \text{Å}$	$c, \text{Å}$	$V, \text{Å}^3$	$R_p, \%$	$R_{wp}, \%$	$R_{exp}, \%$	$RBr, \%$
$\text{YBaFeCuO}_{5\pm\delta}$	3.871(1)	7.662(1)	114.839(3)	6.85	9.13	6.19	1.88
$\text{YBaCo}_{0.05}\text{Fe}_{0.95}\text{CuO}_{5\pm\delta}$	3.872(1)	7.657(1)	114.813(3)	6.21	8.79	10.6	1.33
$\text{YBaCo}_{0.1}\text{Fe}_{0.9}\text{CuO}_{5\pm\delta}$	3.871(1)	7.653(1)	114.676(1)	6.47	8.83	12.4	1.38
$\text{YBaCo}_{0.2}\text{Fe}_{0.8}\text{CuO}_{5\pm\delta}$	3.871(1)	7.644(1)	114.538(3)	5.42	7.29	10.9	1.39
$\text{YBaCo}_{0.25}\text{Fe}_{0.75}\text{CuO}_{5\pm\delta}$	3.871(1)	7.640(1)	114.502(9)	11.6	16.1	13.2	1.71

Методом термогравиметрического анализа с использованием термовесов STA 409 PC фирмы Netzsch GmbH для оксидов  $\text{YBaFeCuO}_{5\pm\delta}$  и  $\text{YBaCo}_{0.25}\text{Fe}_{0.75}\text{CuO}_{5\pm\delta}$  получена зависимость кислородной нестехиометрии ( $\delta$ ) от температуры  $T = 25 - 1000^\circ\text{C}$  на воздухе.

Содержание кислорода в замещенных кобальтом образцах  $\text{YBaCo}_x\text{Fe}_{1-x}\text{CuO}_{5\pm\delta}$  немного меньше, чем в незамещенном составе  $\text{YBaCuFeO}_{5\pm\delta}$ .

Температурная зависимость относительного линейного расширения сложных оксидов была измерена на dilatометре Netzsch DIL 402C в интервале температур  $25-1000^\circ\text{C}$  на воздухе.

Из полученных данных были рассчитаны коэффициенты термического расширения. Для состава  $\text{YBaFeCuO}_{5\pm\delta}$  значение КТР составило  $13.7 \cdot 10^{-6} \text{K}^{-1}$ .

### Список литературы

1. Shannon R.D. // Acta Cryst. 1976. A. 32. P. 751–767.